

А.М. Стрижевская, Э.Р. Сенжапова, А.З. Дзампаев, В.Н. Байкова

Потенциальный критерий фармакодинамического эффекта высоких доз метотрексата — гомоцистеин

ФГБУ «Российский онкологический научный центр им. Н.Н. Блохина» РАМН, Москва, Каширское ш., 23

Высокие дозы метотрексата (*ВД Mtx*) блокируют метаболический путь превращения гомоцистеина (*hcy*) в метионин. Вследствие этого гомоцистеин накапливается в крови. Целью данной работы было выявление взаимосвязи между изменениями концентрации *hcy*, метотрексата на ключевых часах терапевтического лекарственного мониторинга *mtx*, а также выявление возможности применения *hcy* в качестве маркера токсичности и эффективности *ВД mtx*. В работу включены данные о детях, находившихся на лечении в НИИ ДОГ ФГБУ «РОНЦ им. Н.Н. Блохина» за период с 2007 по 2013 гг. Исследование показало, что концентрация гомоцистеина тесно коррелирует с концентрацией метотрексата в течение курса терапии высокими дозами метотрексата. Однако выброс гомоцистеина в кровь в ответ на введение метотрексата снижается с каждым последующим курсом терапии, что делает его потенциальным фармакодинамическим критерием эффективности терапии высокими дозами метотрексата.

Ключевые слова: метотрексат, гомоцистеин, токсичности, остеосаркома, дети

А.М. Strizhevskaya, E.R. Senzhopova, A.Z. Dzampaev, V.N. Baykova

Potential marker of the pharmacodynamic effect of high doses of methotrexate — homocysteine

FGBI Russian Cancer Research Center of N.N. Blokhin RAMS

High-dose methotrexate blocks the metabolic pathways of conversion of homocysteine to methionine. As a result, homocysteine (*hcy*) accumulates in the blood. The aim of this study was to determine the relationship between changes in concentrations of *hcy*, *mtx*, and other criteria of toxicity in the key hours of therapeutic drug monitoring of *mtx*, as well as identifying the possibility of using *hcy* as a marker of toxicity and effectiveness of high-dose *mtx* therapy. The study includes data on 246 children with osteosarcoma of different localisation.

Key words: Methotrexate, homocysteine, toxicity, osteosarcoma, child

Высокие дозы метотрексата (*ВД Mtx*) в детской онкологии применяются для лечения остеосаркомы (ОС), острого лимфобластного лейкоза, неходжкинской лимфомы, и других типов опухолей. У пациентов с ОС это позволило достичь безрецидивной выживаемости до 80% [1, 2]. Однако проблема высокой экстра- и интраиндивидуальной изменчивости в фармакокинетике *Mtx* остается нерешенной [3]. В 10% случаев возникает угрожающее жизни замедленное выведение *Mtx*, индуцированная *Mtx* острая почечная недостаточность, вызываемая преципитацией *Mtx* на эпителии почечных канальцев [4, 5]. Характерно, также, проявление гепатотоксичности. Лечение должно проводиться под строгим контролем лабораторных исследований, в первую очередь лекарственного мониторинга концентрации самого препарата. Харак-

тер и время проявления побочных реакций, а также скорость их устранения зависят не только от дозы *Mtx*, его концентрации и длительности пребывания в организме, но и от состояния ферментных систем организма, функциональной полноценности выделительных органов [6].

Используемые в настоящее время лабораторные показатели (АЛТ, АСТ, ЛДГ, креатинин) не являются специфическими для *ВД Mtx*, реагируют и на другие виды химиотерапии, не всегда и не полно отвечают на введение *Mtx*. Оценка воздействия *ВД Mtx* на организм ребенка требует серьезного теоретического анализа и исследования с помощью новых биохимических маркеров, которые могли бы показать и предсказать токсичность *Mtx* ранее других биохимических показателей.

Для возможности оценки как степени эффективности подавления образования фолатов (рис. 1), так и степени токсичности *Mtx* предложен фармакодинамический критерий — уровень содержания аминокислоты гомоцистеина (*Hcy*) [7]. Это серосодержащая ами-

Для корреспонденции: Стрижевская Александра Михайловна, науч. сотр., экспресс-лаборатория централизованного клинико-лабораторного отдела, ФГБУ «РОНЦ им. Н.Н. Блохина» РАМН. Каширское шоссе, 23, e-mail: Strizhevsky@yandex.ru

нокислота уже применяется в медицине как маркер ишемической болезни сердца, шизофрении, патологии плода и пр. [7—9]. Нсу не поступает в организм с пищей, являясь продуктом трансметилирования — в каскаде реакций он образуется из аминокислоты метионина (Met), а затем при участии тетрагидрофолата (ТГФ) превращается вновь в метионин. В свою очередь, Mtx ингибитирует образование ТГФ, ингибируя фермент дигидрофолатредуктазу (ДГФР, EC 1.5.1.3). Дигидрофолат (ДГФ) не восстанавливается в ТГФ, который необходим для превращения гомоцистеина в метионин (рис. 1). Накопление гомоцистеина при ВД Mtx — биохимическая основа отражения степени подавления синтеза фолатов [10—12].

Методика

Характеристика пациентов

В работу включены данные о 246 детях, которые находились на лечении в НИИ ДОГ ФГБУ «РОНЦ им. Н.Н. Блохина» РАМН за период 2006 по 2013 гг. Пациенты получали лечение согласно протоколу комплексной химиотерапии остеосаркомы «ОС-2006», разработанному и утвержденному в НИИ ДОГ. Средний возраст детей составил 12,2 года (от 5 до 16 лет); соотношение пациентов по полу — 1,03:1 (125 мальчиков, 121 девочка). Всего проведено 1137 курсов ВД Mtx. Больным было проведено 6 ± 4 курсов ВД Mtx (средняя доза Mtx составила $18,96 \pm 5,2$ г). Mtx вводился путем 4-часовой инфузии на фоне щелочной прегидратации. Лейковорин назначался внутривенно, через каждые 6 ч, начиная с 24-го часа от начала инфузии Mtx.

Методика

Кровь из вены забиралась до введения препарата (0 ч); через 4; 24; 42; 48; 72 часа и далее до полного выведения Mtx, в вакуумные пробирки марки Sarsstedt (тип «monovette®» объем 7,5 мл). Кровь центрифугировали в течение 10 мин при 3000 оборотах на центрифуге Elmi CM 6M. Терапевтический лекарственный мониторинг (ТЛМ) Mtx проводили методом флуоресцентно-поляризационного иммуноанализа (ФПИА) на анализаторе TdxFlx («Abbott», США) в те же сроки. ФПИА — гомогенный конкурентный метод иммунного анализа, основанный на двух принципах: конкурентного связывания белков и флуоресцентной поляризации. Определение Нсу также проводили в те же сроки наблюдения на анализаторе VITROS 5.1 FS («Orthoclinical Diagnostics», США). В основе метода лежит реакция восстановления молекул Нсу, связанных дисульфидной связью трис-(2-карбоксиэтил)-фосфин гидрохлоридом с образованием восстановленной формы Нсу, которая,

в свою очередь, реагирует с серином в присутствии цистоционин β -синтазы с образованием L-цистоционина. L-цистоционин реагирует с цистоционин- β -лизазой с образованием гомоцистеина, пирувата и аммиака. Пируват восстанавливается с участием ЛДГ и НАДН в качестве кофермента. Концентрация Нсу прямо пропорциональна количеству НАДН, окисленного в НАД⁺, и измеряется спектрофотометрическим методом при 340 нм.

Статистическая обработка

Для статистической обработки результатов исследования были использованы процедуры математической статистики, реализованные в программе SPSS 11.0 for Windows, MedCalc 12, Origin 6.1, MS Excel 2007.

Результаты и обсуждение

В качестве стандартных в протоколе приняты следующие концентрации Mtx на ключевых часах лекарственного мониторинга: на срок 4 ч должно быть менее 1800 мкмоль/л; на 24 ч — менее 10 мкмоль/л; на 42 ч — менее 1,0 мкмоль/л; на 48 ч — менее 0,1 мкмоль/л; на 72 ч — менее 0,05 мкмоль/л; на 96 ч — менее 0,02 мкмоль/л. На сроке 24 ч вводился антидот Mtx — лейковорин, и далее введение последнего повторялось каждые 6 ч. При такой скорости выведения Mtx и применяемой схеме лечения вероятность развития побочных эффектов считается минимальной.

Mtx вводили капельно в течение 4 ч. Показатели концентрации Mtx и гомоцистеина в исследуемые сроки представлены в таблице. Как видно из таблицы, к 4-му часу достигалась максимальная концент-

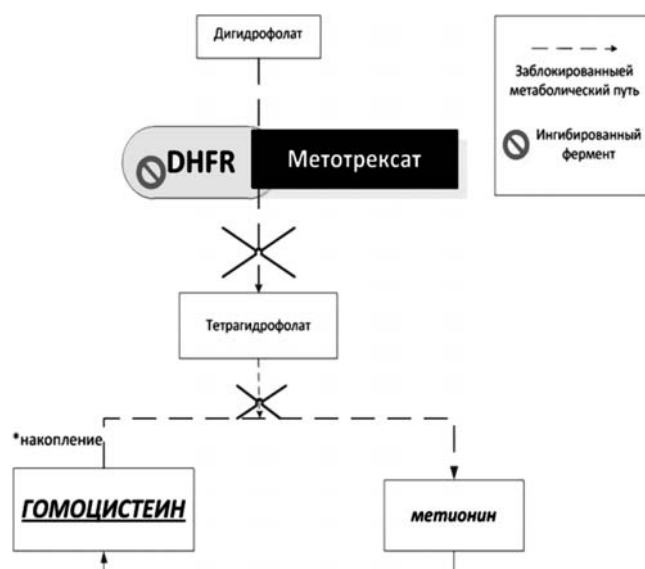


Рис. 1. Метаболизм гомоцистеина в условиях терапии высокими дозами Mtx

Таблица

Концентрация Mtx, мкмоль/л	Час от начала введения метотрексата						
	0	4	24	42	48	72	96
	0	1109 ± 283	4,67 ± 0,95	0,38 ± 0,16	0,23 ± 0,04	0,07 ± 0,03	0,03 ± 0,01
Hcy (нормальное выведение Mtx), мкмоль/л	5,4 ± 1,5	9,5 ± 3,2	15,6 ± 5,5	11,6 ± 3,4	8,8 ± 3,2	5,9 ± 1,3	4,7 ± 1,3

рация Mtx, затем она прогрессивно снижалась и к 24-му часу от начала введения Mtx составляла $4,67 \pm 0,95$ мкмоль/л. На сроке 24 ч начиналось введение антитода Mtx — лейковорина, который обеспечивает защиту клеток от токсического воздействия Mtx. Полное выведение Mtx в неосложненных случаях занимает 96 ± 24 ч.

Концентрация сывороточного Hcy также быстро возрастала за первые 4 ч терапии. После окончания инфузии Mtx концентрация Hcy продолжала возрастать до начала введения антитода. В последующие сроки наблюдения концентрация Hcy прогрессивно снижалась и к 96 ч была ниже концентрации до начала терапии в среднем на 1,5 мкмоль/л (рис. 2). Коэффициент корреляции между концентрацией Mtx и Hcy составил 0,87, $p = 0,0031$.

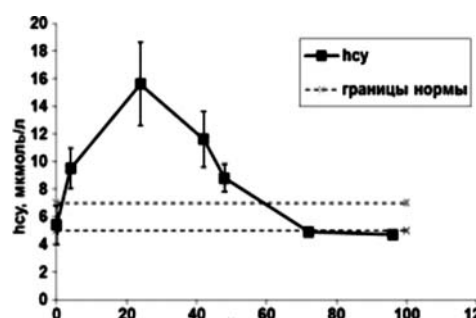


Рис. 2. Динамика изменения концентрации Hcy в крови пациентов при ВД Mtx.

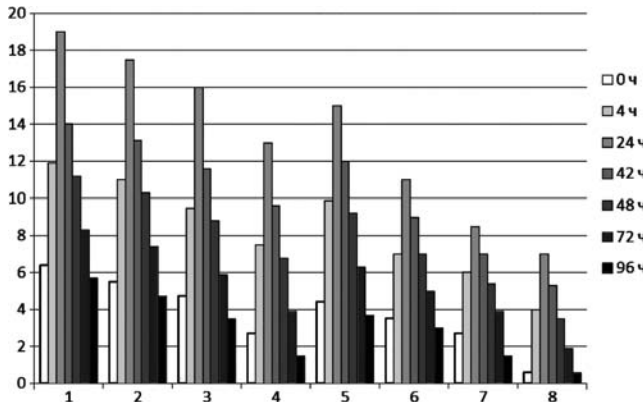


Рис. 3. Динамика изменения концентрации Hcy в крови пациентов при ВД Mtx с 1 по 8 курсов ВД Mtx.

При изучении изменения концентрации в процессе лечения Hcy с 1-го по 8-й курс введения ВД Mtx был выявлен ряд особенностей. Наиболее выраженный ответ наблюдался во время 1-го курса ВД Mtx у первичных пациентов — концентрация Hcy к 24-му ч достигала в среднем $20,3 \pm 5,1$ мкмоль/л. При последовательном измерении Hcy на разных курсах ВД Mtx было выявлено, что с каждым последующим курсом наблюдаемые изменения концентрации становились все менее выраженными — концентрация Hcy на каждый срок ТЛМ Mtx была ниже, чем на предыдущем (рис. 3); т.е. каждый последующий курс ВД Mtx начинался с более низких значений Hcy. Причиной этого могло быть снижение активности трансформации фолатов, остаточное действие лейковорина, а также активация альтернативных путей метаболизма (цистетионового пути, который преимущественно представлен в почках).

Статистически значимая разница выявлена между показателями 1-го и 4-го; 6-го; 7-го; 8-го курсов, а также между 5-м и 7-м; 8-м курсами. Было обнаружено, что в течение первых 4 курсов терапии ВД Mtx концентрация Hcy снижалась, но 5-й курс характеризовался большей амплитудой колебания концентрации Hcy, т.е. концентрация повышалась на всех сроках мониторинга (в среднем на 2,3 мкмоль/л), но не достигала значений 1 курса.

При выявлении причин этой особенности было обнаружено, что, согласно историям болезни, перед курсом ВД Mtx, который характеризовался большей амплитудой ответа Hcy на введение Mtx, имели место перерывы в терапии ВД Mtx. Перерывы в курсах ВД Mtx обусловлены проведением хирургического этапа лечения. Также в эту группу отнесены пациенты с рецидивами (развитие метастазов в легких), поступившие для проведения повторного цикла лечения. После перерыва уровень Hcy восстанавливался, но не полностью, что может указывать на остаточное влияние лейковорина (рис. 4).

Для анализа данные были разделены на 2 подгруппы — до и после перерыва в терапии ВД Mtx. В подгруппе 1 — «до перерыва в терапии ВД Mtx» выявлена статистически значимая разница между показателями 1-го и 4-го курсов ($p = 0,008$). В подгруппе «после перерыва в терапии ВД Mtx» стати-

стически значимые разницы выявлены между 5-м и 8-м курсами ($p = 0,007$). Вместе с тем, в каждой подгруппе концентрация Нсу снижалась с каждым последующим курсом.

Площадь под фармакокинетической кривой выведения Нсу ($HcyAUC$) также показала тенденцию к снижению от курса к курсу. Это отражает снижение накопления Нсу в ответ на последовательное проведение курсов ВД Мтх. После перерыва в терапии значение $HcyAUC$ возрастает, не достигая изначальных значений, а затем постепенно снижается. При этом $MtxAUC$ от курса к курсу остается неизменной, свидетельствуя, что общее воздействие препарата на организм количественно не изменилось. Эти данные свидетельствуют о том, что общее накопление Нсу ($HcyAUC$) является фармакодинамическим показателем, который линейно увеличивается в ответ на введение Мтх, и эта тенденция мгновенно прекращается введением лейковорина.

С другой стороны, при подсчете площади под фармакокинетической кривой ($MtxAUC$) в процессе разных курсов ВД Мтх статистически значимых различий также не было отмечено между курсами ($p=0,065$), что отражает стабильность общего воздействия препарата.

Эти данные также свидетельствуют, что общее накопление Нсу ($HcyAUC_{0.96}$) является фармакодинамическим показателем, который линейно возрастает в ответ на введение Мтх, и снимается введением лейковорина.

Заключение

Метаболизм Нсу тесно взаимосвязан с механизмом действия Мтх. Попадая в организм, Мтх блокирует процесс утилизации Нсу по основному механизму. С каждым последующим курсом ВД Мтх выброс Нсу в сыворотку снижается [12, 18]. Это может быть следствием того, что Мтх менее эффективно связывает фолаты, или же реакция мгновенно купируется за счет остаточного действия лейковорина. Можно предположить, что Нсу начинает утилизироваться по другим метаболическим путям, и тем самым вносит свой вклад в токсичность Мтх. Применение Мтх также приводит к тому, что уровень Нсу стабильно держится ниже нормы [12—14]. После длительного перерыва в терапии уровень подъема концентрации Нсу восстанавливается, что подтверждает предположение об остаточном действии лейковорина и снижении уровня метаболизма фолатов [15]. Снижение амплитуды концентрации Нсу с каждым последующим курсом ВД Мтх при не изменяющейся концентрации препарата может свидетельствовать о снижении эффективности связывания фолатов, что делает Нсу потенциальным маркером эффективности их подавления [16—18].

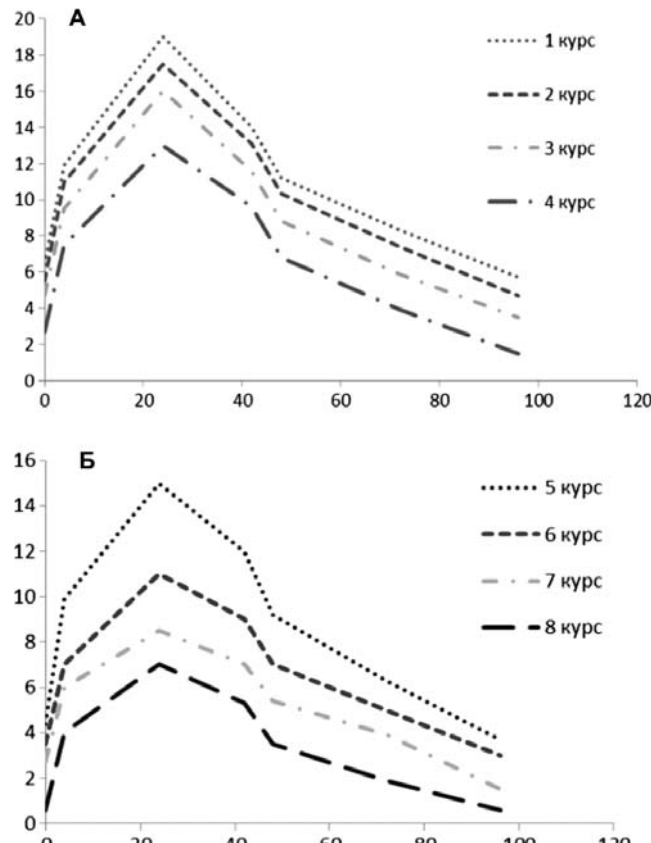


Рис. 4. А — изменение концентрации Нсу с 1-го по 4-й курс; Б — изменение концентрации Нсу с 5-го по 8-й курс ВД Мтх.

Список литературы

1. Crews K.R., Liu T., Rodriguez-Galindo C. et al. High-dose methotrexate pharmacokinetics and outcome of children and young adults with osteosarcoma // Cancer. — 2004. — 100 (8). — P. 1724—1733.
2. Bacci G., Briccoli A., Longhi A. et al. Treatment and outcome of recurrent osteosarcoma: Experience at Rizzoli in 235 patients initially treated with neoadjuvant chemotherapy // Acta Oncologica. — 2005. — Vol. 44. — P. 748—755.
3. Zelcer S., Kellick M., Wexler L.H. et al. Methotrexate levels and outcome in osteosarcoma // Pediatr. Blood Cancer. — 2005. — 44 (7). — P. 638—642.
4. Bacci G., Ferrari S., Longhi A. et al. Delayed methotrexate clearance in osteosarcoma patients treated with multi-agent regimens of neoadjuvant chemotherapy // Oncol. Rep. — 2003. — 10 (4). — P. 851—867.
5. Hempel L., Misselwitz J., Fleck C. et al. Influence of high-dose methotrexate therapy (HD-MTX) on glomerular and tubular kidney function // Med. Pediatr. Oncol. — 2003. — Vol. 40, №6. — P. 348—354.
6. Jaffe N., Gorlick R. High-Dose Methotrexate in Osteosarcoma: Let the Questions Surcease-Time for Final Acceptance // J. of Clin. Onc. — 2008. — Vol. 28, №27. — P. 4365—4366.
7. Broxson E., Stork L., Allen R. et al. Changes in Plasma Methionine and Total Homocysteine Levels in Patients Re-

- ceiving Methotrexate Infusions // Cancer Research. — 1989. — Vol. 49. — P. 5879—5883.
8. **Bostom A.G., Kronenberg F., Schwenger V.** et al. Proteinuria and total plasma homocysteine levels in chronic renal disease patients with a normal range serum creatinine: Critical impact of true GFR // J. Am. Soc. Nephrol. — 2000. — Vol. 11. — P. 305—310.
9. **Bostom A.G., Culleton B.F.** Hyperhomocysteinemia in chronic renal disease // J. Am. Soc. Nephrol. — 1999. — Vol. 10. — P. 891—900.
10. **Ruhs H., Becker A., Drescher A.** et al. Population PK/PD model of homocysteine concentrations after high-dose methotrexate treatment in patients with acute lymphoblastic leukemia // PLoS One. — 2012. — Vol. 7, №9. — P. 1—8.
11. **Refsum H.** et al. Plasma Homocysteine in Children with Acute Lymphoblastic Leukemia: Changes during a Chemotherapeutic Regimen Including Methotrexate // Cancer research. — 1991. — Vol. 51. — P. 828—835.
12. **Refsum H., Ueland P., Kylinnsland S.** Acute and Long-Term Effects of High-Dose Methotrexate Treatment on Homocysteine in Plasma and Urine // Cancer research. — 1986. — Vol. 46. — P. 5385—5391.
13. **Refsum H.** et al. Homocysteine Determinations: An Expert Opinion // Clinical Chemistry. — 2004. — 50 (1). — P. 3—32.
14. **Watanabe K., Heike T., Kubota M.** et al Plasma homocysteine, methionine and S-adenosylhomocysteine levels following high-dose methotrexate treatment in pediatric patients with acute lymphoblastic leukemia or Burkitt lymphoma: association with hepatotoxicity // Leuk. Lymphoma. — 2013. — Vol. 3, №1. — P. 1—5.
15. **Ueland M., Lonning E., Refsum H.** Kinetics of Plasma Total Homocysteine in Patients Receiving High-Dose Methotrexate Therapy // Clinical Chemistry. — 1998. — 44 (9). — P. 50—54.
16. **Sterba J.** et al. Pretreatment Plasma Folate Modulates the Pharmacodynamic Effect of High-Dose Methotrexate in Children with Acute Lymphoblastic Leukemia and Non-Hodgkin Lymphoma: «Folate Overrescue» Concept Revisited // Clinical Chemistry. — 2006. — Vol. 52:4. — P. 692—700.
17. **Valik D., Sterba J., Bajcova V., Demlova R.** Severe encephalopathy induced by the first but not the second course of high-dose methotrexate mirrored by plasma homocysteine elevations and preceded by extreme differences in pretreatment plasma folate // Oncology. — 2005. — Vol. 69, №3. — P. 269—272.
18. **Valik D., Radina M., Sterba J., Vojtesek B.** Homocysteine: exploring its potential as a pharmacodynamic biomarker of antifolate chemotherapy // Pharmacogenomics. — 2004. — 5 (8). — P. 1151—1162.

Поступила 24.03.14

Сведения об авторах:

Байкова Валентина Николаевна, д.б.н., проф., зав. экспресс-лабораторией централизованного клинико-лабораторного отдела, ФГБУ «РОНЦ им. Н.Н. Блохина» РАМН

Сенжапова Эльмира Рифатовна, врач, отделение хирургии опухолей опорно-двигательного аппарата НИИ ДОГ, ФГБУ «РОНЦ им. Н.Н. Блохина» РАМН

Дзампаев Алан Зелимханович, к.м.н., зав. отделением хирургии опухолей опорно-двигательного аппарата НИИ ДОГ, ФГБУ «РОНЦ им. Н.Н. Блохина» РАМН